

种群生态学理论与可更新资源的科学管理

——关于最大持续收获量

孙儒泳

(北京师范大学生物系)

渔业、狩猎业等生物资源,在利用其一部分后,能通过种群本身的增长和更新,反复地利用,属于可更新资源。历史的经验说明,可更新资源也不是始终不会枯竭的。使可更新资源既提供最多的产量,又不影响长期的利用,这就是所谓的最大持续收获量(maximum sustainable yield)原则,文献上常用 MSY 来代表。

对于有些生物资源,如不去利用它或利用不足,也是白白的浪费。一般情况下动物种群数量过高,对种群本身不利。如果出现种群过剩(overpopulation),还会使死亡增加。种群过剩或过稀,对种群都是不利的,而资源利用不充分或利用过度,同样是不科学的。

资源利用过度或利用不充分,确定 MSY,这些都是与实践关系密切的问题,也是种群生态学的理论问题。现将确定 MSY 的种群生态学理论基础——种群增长型、MSY 的原理和资源利用的影响,并以 Schaefer 模型说明确定最优种群水平和最优收获量的方法等介绍如下:

一、种群增长类型

(一) J-型或指数式种群增长模型

假设一个种群初始时有 2 个个体,经过一个时间单位(假定一年),出生 6 个,死亡 2 个;还假定没有迁入和迁出,或迁入迁出彼此互相平衡,那么一年后就成为 6 个。即:

$$2 + 6 - 2 = 6 \text{ 或 } 2 \times 3 = 6。$$

也就是种群经过一年增加到 3 倍。如果这种增长率保持不变,那么

$$\text{第 2 年后 } 2 \times 3^2 = 18$$

$$\text{第 3 年后 } 2 \times 3^3 = 54$$

.....

$$\text{第 } t \text{ 年后 } 2 \times 3^t =$$

$$\text{或 } x_0 \cdot \lambda^t = x_t。$$

其种群增长曲线型式如图 1 所示呈 J 型,这是一条指

数曲线,其数学模型是:

$$x_t = x_0 \lambda^t \quad (1)$$

其中 x_0 代表初始时的种群大小, x_t 代表 t 时刻的种群大小, λ 代表单位时间内的增长倍数,即

$$\frac{x_{t+1}}{x_t} = \lambda$$

如果 $\lambda = 1$, 则 $x_{t+1} = x_t$, 表示种群稳定; $\lambda > 1$, 种群增加; $\lambda < 1$, 种群减少。

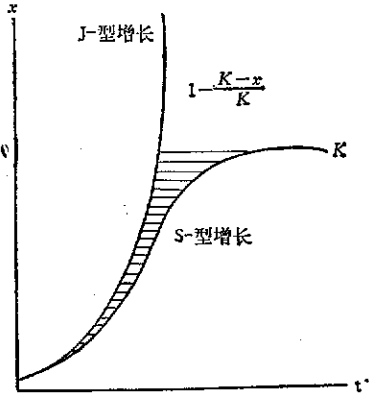


图1 J型和S型种群增长

如果方程(1)两侧各取对数,则

$$\log x_t = \log x_0 + t \log \lambda \quad (2)$$

这样就成了线性关系。因此,将图(1)的纵座标以对数作标尺,就成为一条直线(图2)。直线的斜率为 $\log \lambda$, 它就是种群增长的速率,在上例中,如果条件不受限制,其种群以每年翻三倍而增长。

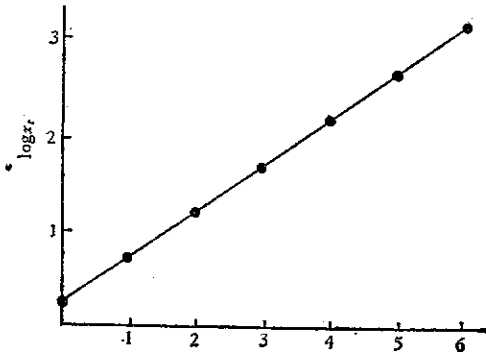


图2 $\log x_t$ 与 t 的直线关系

微分是表达过程改变率的,方程(1)表达的过程,如用微分来表示就是

$$\frac{dx}{dt} = rx \quad (3)$$

其积分是:

$$x_t = x_0 e^{rt} \quad (4)$$

其中 dx/dt 表示种群大小 x 的瞬时增长率,即在时间无限小时, x 的改变值决定于 r 值与 x 值的乘积。 x

是变量, r 是常数。在此的 r 与方程(1)中 λ 的关系是:

$$r = \ln \lambda \quad (5)$$

r 从其生物学所表示的含义来讲,称为内禀自然增长率 (innate rate of natural increase), 它表示物种固有的潜在的增殖能力,常常称为生物潜能 (biological potential)。按方程(5),如果 $r > 0$, 即 $\lambda > 1$, 种群增加; $r = 0$, 即 $\lambda = 1$, 种群稳定; $r < 0$, 种群减少。例如种群以每单位时间三翻而上升时, $\lambda = 3$, $r = \ln 3 = 1.098$ 。

这样,方程(3)所表达的指数增长模型,就是:种群的瞬时增长率=内禀自然增长率×种群数量也就是种群数量是按指数而增长的。

(二) S-型或逻辑斯谛(Logistic)增长模型

有些学者估计到种群增长不可能无限制,所以考虑一个极限:假设种群在一个有限的空间、食物……条件下,有一个最大的饱和量 (K),称为容纳量或负载量 (carrying capacity),假定这种限制不是在种群增长到 K 值时一下出现,而是随着种群数量 x 的增加而逐渐地按比例增加,这样就会得到一条S-型的种群增长曲线(图1)。要满足这个条件,只要在原来的指数增长模型上增加 $\left(\frac{K-x}{K}\right)$ 一项因子(即逻辑斯谛方程式):

$$\frac{dx}{dt} = rx \left(\frac{K-x}{K}\right) \quad (6)$$

其积分式为

$$x_t = \frac{K}{1 + e^{-rt}} \quad (7)$$

新增加因子 $\left(\frac{K-x}{K}\right)$ 说明:当 x 由 0 逐渐增大到 K , 则 $\left(\frac{K-x}{K}\right)$ 就由 1 逐渐地趋向于 0, 即随着种群数量 x 的逐渐增大,种群指数增长实现程度就逐渐变小,直到 $x = K$, 增长就成为 0。

因此,方程(6)表示的逻辑斯谛增长模型,即:

种群的瞬时增长率

= 种群的最大可能增长(即内禀自然增长率×种群数量)

× 最大可能增长的实现程度

图1中S-型曲线与J-型曲线中间的面积逐渐随 x 而增大,也就是增长不能实现部分的逐渐扩大。总之,逻辑斯谛增长模型说明,种群增长除了有决定于内禀增长率 r 决定的增长倾向以外,另有一个限制内禀增长率实现的相反的限制力量,它通过这个 $\left(\frac{K-x}{K}\right)$ 因子项来表达。

虽然逻辑斯谛增长模型过分的简单化,但也有许

多实验种群和某些野外种群的确凿证据,说明它们表现出接近S-型的增长模式。在实验室条件下,已证实表现出S-型种群增长的种类有酵母菌、草履虫、果蝇、似谷盗等。在自然条件下,尤其当某一个新种引入某个岛上时,能表现出逻辑斯谛增长的情形。

(三) 种群增长的各种变型

图3表示种群增长的某些变型,其中A属于J-型, B属于S-型。实际上可以把J-型增长视为环境阻力是突然出现的。正因为如此,也就易于形成剧烈的下降,成为数量波动激烈的类型(如A-1, A-2)。B-1说明

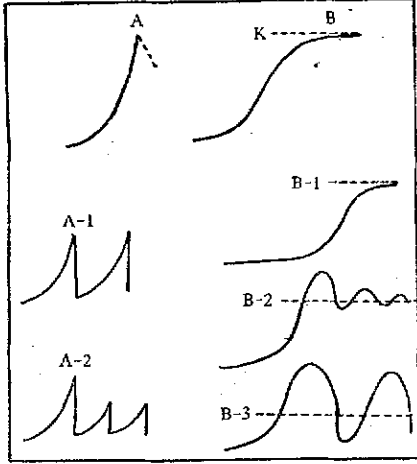


图3 J-型和S-型种群增长的变型

密度的影响是有时滞的,即从幼体产生后到种群增长有明显影响之间有相当时间间隔。因此,种群增长初期很缓慢。因为这种时滞作用,种群数量就容易越过K值而出现所谓“过头现象”(overshoot)。过头之后,又会有降低到低于K值的倾向,从而造成如B-2型的围绕K值作上下波动。

二、MSY 的理论基础与资源利用的影响

(一) MSY 的理论基础

MSY 的理论基础就是逻辑斯谛增长模型。依逻辑斯谛模型,种群开始增加很慢,以后逐渐加快(正加速期),然后通过一个转折点,种群增长逐渐变慢(负加速期),最后就稳定在K的水平。这个转折点,代表种群增加最迅速的时期,假如S-型曲线是完全对称的,这个点位于K/2处。它可以从方程(6)推导出来,也可以从图1的S-型曲线上升的切线斜率直观地加以确定。

图4以另一种图解表示逻辑斯谛增长型式:纵座标为种群的增长率(dx/dt),横座标为种群大小(x)。这个图表示种群增长率是种群大小的函数,其关系呈倒钟形,它同样表示:当种群数量由0→K/2时,种群

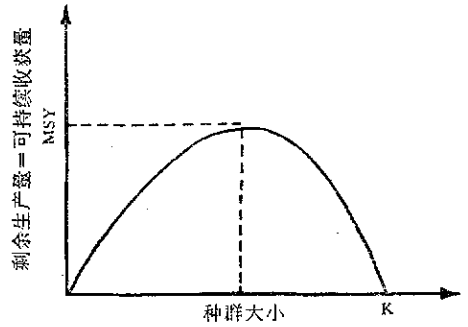


图4 MSY 与逻辑斯谛增长

增长逐渐加速,通过K/2的转折点,种群增长逐渐变慢,并于 $x=K$ 时停止增长。这样可以把纵座标所表示的种群增长率,看作为“可供捕取而不影响种群原有数量”的剩余生产量部分(即可持续的收获量)。那么,当种群增长率 dx/dt 为最大时,它就是MSY,这个点相当于种群数量 $x=K/2$ 的时候。例如:据估计,南极的蓝鲸种群,其环境的最大容纳量(K)值为150,000头,而MSY约为每年2,000头。如果将种群能维持在 $K/2=75,000$ 水平,就可以达到每年2,000头的MSY。即75,000头蓝鲸的种群,经过一年单位时间增加2,000头,如果我们捕捞这2,000头,种群还回到原有水平,如此可持续下去。

(二) 捕捞的影响

假定有一个按逻辑斯谛方程增长的种群,经受着人工的捕取;设捕捞率(h)为一常数,那么这个模型较方程(6)增多一个新项,即

$$\frac{dx}{dt} = F(x) - h \quad (8)$$

其中 $F(x) = rx \left(\frac{K-x}{K} \right)$ 。按方程(8)经受捕捞的种群,其动态将有三种可能情况:

1. 如果捕捞率大于种群最大增长率,即

$$h > \max F(x)$$

(在此,最大种群增长率 $\max F(x)$,就是当种群大小 $x=K/2$ 时的MSY),那么不管种群大小开始时怎样,种群就会越来越少,并趋向于0,这就是资源过度利用,出现过捕现象(图5a)。

2. 如果捕捞率小于种群最大增长率,即

$$h < \max F(x),$$

就会出现两个平衡点(图5b中的 x_1 和 x_2),当种群数量 $x=x_1$ 或 $x=x_2$ 时,种群增长率 dx/dt 正好等于 h ,种群就能保持平衡。

3. 如果捕捞率等于种群最大增长率,

$$h = \max F(x),$$

那么就有一个平衡点,即在种群数量 $x=K/2$ 之点。这是一种半平衡,即开始种群数量 $x > K/2$ 时,捕捞超

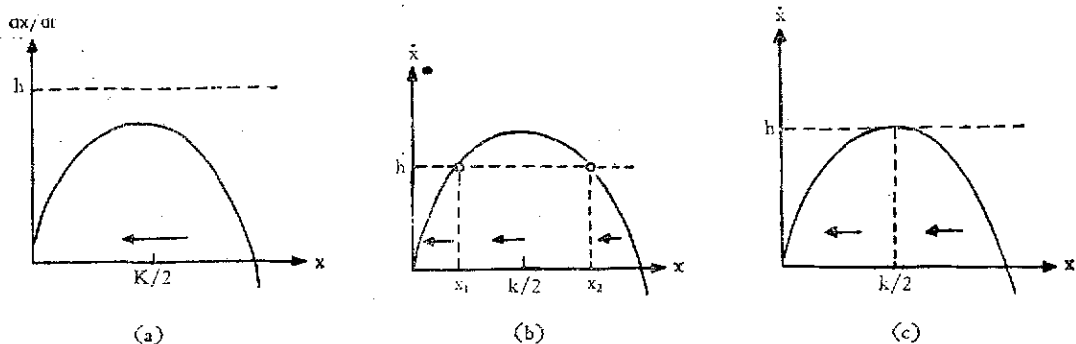


图5 有恒定捕捞率 h 的逻辑斯谛模型
 (a) $h > \max F(x)$; (b) $h < \max F(x)$; (c) $h = \max F(x)$

过增长,种群变小,但到 $x = K/2$ 时就能平衡;而当开始数量 $x < K/2$, 则种群变小而趋向于灭绝(图5c)。

这个模型虽有很大简化和局限性,但它提供了有关可更新资源利用中的很有价值的预测,即①有一个MSY,如果实际捕捞率超过MSY,种群数量就会逐渐下降而趋向于0;②能提供MSY的种群数量 x_{MSY} ,不是当种群处于最大容纳量 K 的水平,而是它的一半,即 $x = K/2$ 的水平。如果种群数量 x 达到饱和水平 K ,也就没有可持续收获量可言。

这两点虽然很简单,但缺乏经验的资源利用和保护工作者往往会发生错误。因为种群处于 x_{MSY} 的水平比种群的“自然平衡”水平 K 低,种群数量不如原有的多了,所以容易被想像为利用过度了。例如蓝鳃鲈的种群从150,000头降为75,000头,捕捞更困难,易被想像为“过捕”。

不过,当资源种群数量减少的时候,抽取资源也就更加困难,就抽取成本而言可能上升。因此如果同时考虑资源利用的经济学方面,最适种群大小应当要高于 x_{MSY} 。

三、MSY 理论的实证

上述的MSY理论是根据数学模型从理论上推导的,现介绍一个以实验种群检验MSY理论的实例。西里曼(Silliman)1969用虹鳟(*Lebistes reticulatus*)进行捕捞强度对于种群的生物量和收获量的实验研究。他以繁殖期中人为的减少种群的百分率为捕捞强度,观察不同捕捞强度下虹鳟的生物量与收获量的关系。实验分三个日食量水平,结果见图6。因此图6与图4所表示的是能相对应的,我们看到收获量曲线也是倒钟形的。例如曲线II(当日食量为1时),若不进行捕捞,种群大小可达26—27克(相当于 K),可供收获的新增加量等于0。如果捕捞种群50%,则种群保持在5克生物量邻近,收获量为2.2克。曲线的最高峰,即最大收获量是在捕捞率为33%的时候,相当于种群生物量为11—12克,它略低于 $K/2$ 。这个倒钟型曲线并

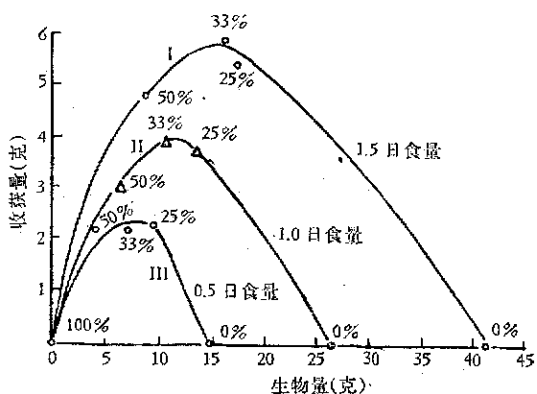


图6 不同利用率情况下虹鳟实验种群的收获量与生物量
 不完全正态,而是略向右偏,所以最大收获量处于小于 $K/2$ 处。实验有力证明了MSY的理论。

此外,三种不同日食量, K 值亦有所不同(这反映出环境条件不同,最大容纳量 K 随之改变),但是 x_{MSY} 在略低于 $K/2$ 邻近的情况,则保持不变。三种不同日食量的试验组,在此可视为检验MSY理论的实验进行了三次重复。

四、对MSY理论的评价

如果以MSY作为可更新资源的管理“目的”,那就过于简单化了。MSY理论还有其缺点。

(一) 在生物学上 1.许多生物资源,尤其是鱼类种群,本身具有较大变化,有时还难以预测。当种群升高时,多捕捞一些也无多大问题,但当种群下降时,多捕就难以成为可持续的。因此MSY概念中,应该考虑这种波动作一些修正。2.当对几个生态上关系密切的种类同时利用时,往往单个种群的最大收获量是难以孤立地估计,必须权衡几个种的总收获量及其种间关系。3.种群增长还有一些不完全典型的,例如有时滞的,有“过头现象”(overshoot)的,也应作相应的修正。

(二) 在经济学上 MSY理论的缺点不亚于生物

学。例如 1. MSY 只考虑资源的收获量,对捕取的成本与收入是完全忽视的。种群数量越少,捕取效率降低,成本也就上升。从成本来讲,一般希望最优管理中种群水平高于 x_{MSY} 。2. 还可以考虑定期间隔捕取(或脉冲式利用资源),即首先让其出现生物学过捕,然后关闭捕捞使种群恢复,再过捕、再恢复。

虽然 MSY 理论还有不少缺点,但是把 MSY 作为可更新资源科学管理中一个重要约束条件和原理,还是很有价值的。防止生物学过捕是经常需要注意的,如果应用得当,MSY 理论能有效地帮助检验。由于 MSY 概念还有不足之处,所以有学者主张用最优持续收获量(optimum sustainable yield 或 OSY)来替代。

五、资源利用的经济方面

(一) 戈登(Gordon)资源经济学原理

戈登(1954)提出了开放性(即不受控制、任何人都可捕取的)渔业的资源经济学原理。在渔捞业统计中,常以单位渔捞努力(fishing effort)(如每网、每船日)的平均捕捞量作为资源种群大小的间接指标。图 7 曲线 TR 称为总持续收入。假定所捕取的资源的每单位生物量(如每公斤鱼)的价格不变,那么总持续收入曲线 TR 就随持续收获量的变化而变化,并呈倒钟形:随着渔捞努力 E 的增加,持续收获量也增加,总持续收入亦随之增加;但当渔捞努力 E 超过了 E_{MSY} 的水平以后持续收获量反而下降,总持续收入也随之降低。

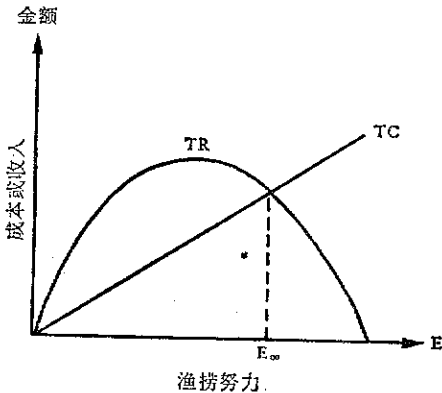


图 7 Gordon 开放性渔业模型

图 7 中的 TC 线,称为总成本曲线,它表示总成本与渔捞努力 E 的关系。假定渔捞成本与所花费的渔捞努力成正比(这个假定是合理的),那么总成本曲线必然是线性的,即随着渔捞努力的增加,总成本呈直线上升。总持续收入曲线 TR 与总成本线 TC 的交叉点,代表总收入与总成本相等(即 $TR = TC$),称为生物经济平衡(bionomic equilibrium)。在其平衡点上(图 7 中相当于 E_0 的水平),经济收益就等于 0。

因此,所谓 Gordon 资源经济原理就是:当渔捞努

力超过了生物经济平衡点的渔捞努力强度(即 $E > E_0$),总成本就要超过总收入,那就会有一些企业离开这个捕捞对象,从而使渔捞努力 E 降低,即 $E > E_0$ 的情况是不可能长期存在的。同样,当 $E < E_0$,总成本低于总收入,捕捞企业有利益可得,必定吸引更多的渔捞企业,从而使渔捞努力上升。即 $E < E_0$ 的情况也是不会长期存在的。这样,开放性资源有向生物经济平衡点(相当于 E_0 的渔捞努力水平,而处于该水平下的资源种群大小就可标记为 x_0)发展的倾向,即达到总成本与总收入相等,收益完全消失的倾向。

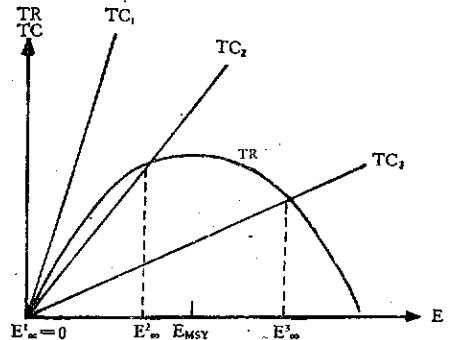


图 8 因成本/价格比值 c/p 降低而出现的生物经济平衡水平 E_1^0 , E_2^0 和 E_3^0

从理论上讲,生物经济平衡出现的情况有几种(图 8)。如果捕捞成本很高,如 TC_1 ,超过了总收入,那就不会有很多渔捞企业去利用它。如果价格提高(或成本降低),捕捞有利,如 TC_2 那样,在 E_2^0 也可能出现生物经济平衡,但此时尚未达到 E_{MSY} 水平,未出现生物学过捕现象。如果成本/价格(c/p)之比还要更低,若生物经济平衡出现在 $E_3^0 > E_{MSY}$ 之点,即出现了生物学过捕现象。

(二) 最优捕捞对策

如果开放性渔业已达到生物经济平衡,并出现严重的生物学过捕现象($E_0 > E_{MSY}$)。这就要确定一个最优种群水平 x^* ,并利用捕捞来促使种群大小 x 迅速地达到最优种群水平 x^* 。这可能有三种情况:当 $x > x^*$

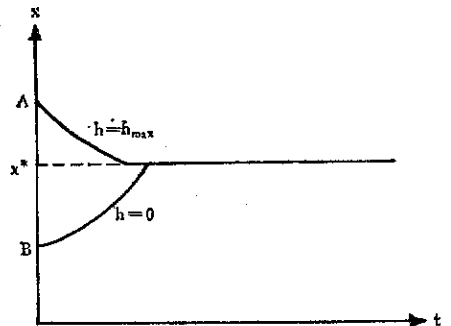


图 9 最优种群水平 x^*

时(即图 9 A),则要尽可能使捕捞率达到最大 (h_{max}),使种群 x 迅速下降到最优水平 x^* ; 当 $x < x^*$ (即图 9 B),则要关闭捕捞,使种群 x 迅速上升到最优水平 x^* ; 而当 $x = x^*$,则正处于最优种群水平。

六、最优捕捞管理的一个实例

——Schaefer 模型

根据 Schaefer 模型,种群最优水平 x^* 按下式确定:

$$x^* = \frac{K}{4} \left[\left(\frac{c}{pK} + 1 - \frac{\delta}{r} \right) + \sqrt{\left(\frac{c}{pK} + 1 - \frac{\delta}{r} \right)^2 + \frac{8c\delta}{pKr}} \right] \quad (9)$$

Schaefer 模型是根据 MSY 理论和 Gordon 资源经济学原理而导出的。我们从方程(9)看到,决定最优种群水平 x^* 的有 5 个参数, r, K, c, p, δ 。其中 r, K 是决定逻辑斯谛方程的两个参数,因此它是决定 MSY 的; 而 c, p 分别代表成本和价格,其关系按 Gordon 模型可以通过生物经济平衡点的种群水平 x_{∞} 来估计。余下的是 δ , 称为折扣率(rate of discount),它变化于 0 与 $+\infty$ 之间,它代表资源利用者在选择最优种群水平 x^* 时,考虑眼前收益与将来收益的比重问题。在表 1, 表 2 中的种群最优水平 x^* 随资源利用者选择的折扣率 δ 而改变。折扣率为零 ($\delta = 0$),意味着考虑以将来利益为重,种群最优水平 x^* 就大一些。相反,当折扣率为无限大 ($\delta = +\infty$),意味着考虑目前的利益为重,种群最优水平 x^* 就小一些。可按方程(9)计算出当 δ 分别为 0, 0.1, 0.2... $+\infty$ 时一系列的 x^* 值,并由此分别计算出各个相应的最优收获量 Q^* ,最后从中选择一个,作为资源科学管理中所要控制的最优种群水平和最优收获量。

以庸鲈 (*Hippoglossus hippoglossus*) 为例,说明最优种群水平 x^* 的估计方法。庸鲈是北太平洋底栖经济鱼类,分布广、食用价值高,仅次于鲑科鱼类。从 1924 年建立太平洋庸鲈委员会后,资源有明显上升,于 1950 年接近于 x_{MSY} 水平^{*}。近来苏联、日本拖网渔业的发展,又严重地耗损了资源。当今捕捞上岸的资料说明,资源又低于 x_{MSY} 的水平。根据莫林 (Mohring, 1973) 估计¹⁾,其种群增长参数为:

$$r = 0.71 \quad K = 80.5 \times 10^6 \text{ 公斤}$$

关于生物经济平衡的种群 x_{∞} , Mohring 取 1930 年的生物量作为估计量,他考虑在此以前,对资源未很好控制,属完全开放性,因此估计可能处于生物经济平衡,这样:

$$x_{\infty} = 17.5 \times 10^6 \text{ 公斤}$$

有了这三个数字,就可以按方程(9)估计最优种群 x^* 。为了使式子更为简化,现引入下列无量维量:

$$Z^* = \frac{x^*}{K}$$

这是把 x^* 除以环境最大容纳量,表示标准化后的最优种群水平 Z^*

$$Z_{\infty} = \frac{x_{\infty}}{K} = c/pK$$

标准化后的生物经济平衡时的种群水平 Z_{∞} ,注意它决定于 c/p 比值。

$$\gamma = \frac{\delta}{r}$$

这表示折扣率与内禀自然增长率之比
将上面三式代入方程(9),就得

$$Z^* = \frac{1}{4} \left[1 + Z_{\infty} - \gamma + \sqrt{(1 + Z_{\infty} - \gamma)^2 + 8Z_{\infty}\gamma} \right] \quad (10)$$

今以折扣率为 0.1(10%) 时的庸鲈为例:

$$\gamma = \frac{\delta}{r} = \frac{0.1}{0.71} = 0.1408$$

$$Z_{\infty} = \frac{x_{\infty}}{K} = \frac{17.5}{80.5} = 0.2174$$

$$Z^* = \frac{1}{4} [1 + 0.2174 - 0.1408$$

$$+ \sqrt{(1 + 0.2174 - 0.1408)^2 + 8 \times 0.2174 \times 0.1408}]$$

$$= 0.5652$$

$$\therefore x^* = Z^* \cdot K = 0.5652 \times 80.5 = 45.5$$

而年最优收获量估计为

$$Q^* = F(x^*) = rx^* \left(\frac{K - x^*}{K} \right) \\ = 0.71 \times 45.5 \left(\frac{80.5 - 45.5}{80.5} \right) = 14.1$$

根据同样方法,分别计算出不同折扣率 δ 时的 x^* 和 Q^* ,结果如表 1。

另一个实例是长须鲸 (*Balaenoptera physalus*), 艾伦 (Allen 1973) 的研究²⁾

$$r = 0.08 \quad K = 400,000 \text{ 头}$$

至于生物经济平衡时的种群水平,采用

$$x_{\infty} = 40,000 \text{ 头}$$

多少是有些任意的,根据上述方程(10)计算结果如表 2。

通过这两个实例比较内禀增长率相差很大的两个种: 庸鲈内禀增长率高,折扣率改变对于最优种群水平 x^* 和最优年收获量影响较小,而内禀增长率小的长须鲸则影响较大。因此对于内禀增长率小的,资源恢复慢的种类,要特别注意折扣率不能选择过高的问

1) 引自 Clarke, 1976。

2) 同上。

表 1 庸鲷的最优种群水平 x^* 和最优年持续收获量 Q^*

折扣率	最优种群水平 $x^*(\times 10^6 K_2)$	最优年收获量 $Q^*(\times 10^6 K_2)$
0	49.0	13.6
5	47.2	13.9
10	45.5	14.1
15	43.9	14.2
20	42.3	14.25
25	40.9	14.3
30	39.6	14.3
40	37.0	14.2
50	34.9	14.0
100	27.9	12.9
$+\infty$	17.5	9.7

题。

但这个模型还是有很大的简化。如资源种群数量变动(即 Schaefer 模型基本上还是静态的、平衡的模型)、年龄组成、多种资源系统……等方面都尚未估计进去。由于科学迅速发展,数学模型越来越复杂,可解决的问题越来越多,尤其是电子计算机的处理数据,模拟,控制论和系统分析等的应用,使许多过去难以计算和解决的问题得以逐步解决。

在生物科学中应用数学模型问题,历来就有人反对,认为复杂的、变异很大的生物学现象是不可能用数学来解决的。我们知道,所谓数学模型,就是以数学的方式对于现实世界中某种现象的抽象描述,并对此现象作出预言。在抽象的过程中,必然置某些次要的或关系不大的因素于不顾(例如上述模型始终未考虑种群的迁入与迁出,或假定其相互平衡而有意地加以忽视);但是这种“忽略(neglect)”或简化,并不是错误,

表 2 长须鲸的 x^* 和 Q^* (头)

$\delta(\%)$	x^*	Q^*
0	220,000	7920
1	200,000	8000
3	163,000	7726
5	133,000	7094
10	86,000	5406
15	67,000	4485
20	59,000	4024
$+\infty$	40,000	2880

相反,由于简化和抽象,如果它是科学地抓住事物的主要实质,往往使问题更为深入。上述的逻辑斯谛模型,由于其抓住种群增长过程中 r 、 K 两个参数(实际上,这描述了种群增大与阻碍增大的矛盾的两个方面),就使种群增长理论大为深入一步。当初提出这个模型时,同样受到许多批评与非难,但是至今应用逻辑斯谛模型的进展,除了 MSY 理论以外,还有很多:如两个相互作用种群的动态问题,进化理论中的 r -与 K -选择问题等等。事实上,任何科学的发展都是逐步地由简单到复杂,由片面到更全面。应该认识,对于事物或过程的主要方面的那怕是大致的定向性的预言或回答,往往要比对许多非主要的精确的知识重要得多。这对于一个科学工作者来说,是应当经常注意的。

主要参考文献

- Clark, C. W. 1976 *Mathematical Bioeconomics: The optimal management of renewable resources*. John Wiley & Sons.
- Smith, R. L. 1974 *Ecology and Field Biology*. Harper & Row, Publishers.